

することによって負荷された電気ショックによる嫌悪体験を記憶した動物が再び同じ環境下に置かれると、もはや暗室に入ろうとしないことを利用した。実験は電撃ショック持続時間 99 秒、電撃ショック発来遅延時間 3 秒、電流計 0.3mA の条件下で行った。室内の照明を消し、400 ルクスの照明を明箱の上にあて、明暗箱を仕切つてあるギロチンドアと反対の方向に向けてマウスを入れ、30 秒間放置する。その後、ギロチンドアをとり、スタートボタンを押す。マウスが暗箱に入り、電気ショックを受けて明箱に戻ってきたらギロチンドアを閉める。試験中止後、マウスの臭いが残らないよう、装置内を 70% エタノールで拭き、次の試験を開始した。

暗箱にマウスが 300 秒過ぎても入らない場合は、その時点で試験中止とする(訓練試行)。翌日も実験を行い(保持試行)、マウスが嫌悪体験を記憶しているが調べた。

3. Morris 水迷路試験

Morris 水迷路試験は小原医科産業株式会社製(東京)の装置を用いて行った。この試験は空間認知を測定するための方法で、マウスは水難を逃避するために周りの環境条件を手がかりにして、自分の存在場所を認識し、回避できる目的地を探しだす認知地図を脳内に形成する能力を知ることができる。装置内(直径 120cm 前後の円筒の水槽)に水を入れ、回避できるためのプラットホームを設置した。プラットホームはその位置を隠すため白色カラーペイントで水を白濁色にし、その高さより 8mm 高くなるように 23°C 前後の水を入れた。それぞれのマウスに 3 箇所のスタート地点と決められたプラットホームを設け、水槽内壁面にマウスの鼻部を向けて静かに水中に入れた。マウスがプラットホームに辿り着くまでの軌跡と時間を、最大観察時間を 60 秒とし測定した。測定は装置の真上に CCD カメラを設置しマウスの映像信号をモニターすると同時に、コンピューターによりその軌跡と所要時間が解析できるようにシステム化されている。実験開始 6 日目にプローブテストを行った。プローブテスト(Transfer Test)はプラットホームを取り除くことによりマウスが偶然的にプラットホームに辿り着く確立を低くし、プラットホームの置いてあった位置を交差(Crossing)する回数を測定し、空間認知する学習能力を調べる方法である。

3) 組織中水銀濃度の測定

1. 組織の灰化方法

臓器（腎臓・肝臓・肺・心臓・脳）0.15～0.50gを秤量したのち、ユニシール分解ルツボに入れ、硝酸5ml試験管を加えた後に、140°Cのオープン内で90分間、加熱湿式灰化を行った。その後、分解ルツボを90分間冷却し、H₂Oで20mlに調整した。この試料を還元気化-原子吸光光度法で測定した。

2. 水銀濃度測定法

インピンジャーに硫酸(1+20)20ml+塩化第一スズ溶液1mlを入れ、通気バブリングし、プランクを測定した。次に、硫酸(1+20)20ml+塩化第一スズ溶液1ml+水銀標準溶液(1 ppm)0.2, 0.4, 0.6mlを入れ、通気バブリングし、検量線を作成した。そして、高感度還元気化水銀測定装置の感度を1000ngにし、灰化した試料に塩化第一スズ溶液1mlを入れ、通気バブリングした水銀濃度測定した。

4) 統計処理

各群間の平均値の有意差検定は分散分析を、一次元配置を行ったのちにMann-Whitney's U-検定あるいはStudent's-t検定で処理した。

結 果

1) 体重の変化

図2と図3には、出産20週齢から52週齢までのマウスの体重の変化を示した。雌雄MT(+/+)そしてMT(-/-)マウスの対照群、MeHg曝露とともに20週齢まで両群の間に体重に差異は認められなかつた。しかし、28週齢過ぎてから雄性MT(+/+)マウスと雌雄MT(-/-)マウスで、対照群に比べ、MeHg曝露群の体重が低値で、その差は有意であった。それに対し、雌性MT(+/+)マウスは、MeHg曝露群と対照群との間に体重の差は見られなかつた。

2) オープンフィールド試験について

「若年マウス」

図4には、胎生期にMeHg曝露をうけた若年マウスにおける対照群とMeHg曝露群のMT(+/+)マ

ウス及び、MT(-/-)マウスのオープンフィールド試験における10分間に観察中に排便した糞の数を示した。この値は情動反応を示すものである。情動性はMT(+/+)マウスは雌雄とともにMeHg曝露群と対照群との間に糞の数に有意な差は認められなかつたが、MT(-/-)マウスは、雄性MeHg曝露群の糞の数が対照群より、有意に高い値を示した。しかしながら、雌性MT(-/-)マウスでは、両群の間に差異は無かつた。

図6には、胎生期にMeHg曝露をうけた若年マウスにおける対照群の野生型マウス(MT(+/+))、MT欠損マウス(MT(-/-))及びMeHg曝露群のMT(+/+)マウス、MT(-/-)マウスのオープンフィールド試験での総移動距離を示した。この値は自発行動量を示すものである。

自発行動量はMT(+/+)マウス、MT(-/-)マウスの雌雄ともに対照群とMeHg曝露群との間に自発行動量の差異は認められなかつた。図7には、胎生期にMeHg曝露をうけた若年マウスにおける対照群とMeHg曝露群のMT(+/+)マウス及び、MT(-/-)マウスのオープンフィールド試験における中心で活動している割合を示した。この値は探索行動を示すものである。探索行動はMT(+/+)マウスでは雌雄ともに対照群とMeHg曝露群との間に有意な差異は認められなかつた。これに対し、雄性MT(-/-)マウスでは両群の間に差異は見られなかつたが、雌性では対照群に比べ、MeHg曝露群で有意に中心に滞在している割合が高く、探索行動の低下が認められた。

「加齢マウス」

図5には、胎生期にMeHg曝露をうけた加齢マウスにおける対照群とMeHg曝露群のMT(+/+)マウス及び、MT(-/-)マウスのオープンフィールド試験における10分間に観察中に排便した糞の数を示した。情動性はMT(+/+)マウス、MT(-/-)マウスの雌雄ともに対照群とMeHg曝露群との間に差異は認められなかつた。

図8には、胎生期にMeHg曝露をうけた加齢マウスにおける対照群のMT(+/+)マウス、MT(-/-)マウス及びMeHg曝露群のMT(+/+)マウス、MT(-/-)マウスのオープンフィールド試験での総移動距離を示した。自発行動量はMT(+/+)マウスは雌雄ともに対照群がMeHg曝露群に比べて高く、MT(-/-)マウスは雌雄ともにMeHg曝露群が対照群に比べて高く、両者の間の自発行動量に有意差が認められた。図9には、胎生期にMeHg曝露をうけた加齢マウスにおける対照群とMeHg曝露群のMT(+/+)マウス及び、MT(-/-)マウスのオープンフィールド試験における中心で活動している割合を示した。

探索行動は MT(++)マウスでは雌雄ともに対照群と MeHg曝露群との間に有意な差異は認められなかった。これに対し、MT(--)マウスでは雌雄ともに対照群に比べ、MeHg曝露群で有意に中心に滞在している割合が高く、探索行動の低下が認められた。

3) 受動的回避反応試験について

「若年マウス」

図10及び図11には、胎生期に MeHg曝露をうけた若年マウスにおける対照群と MeHg曝露群の MT(++)マウス及び、MT(--)マウスの受動的回避反応試験における訓練試行と翌日に行った保持試行の回避反応時間を示した。この値は、嫌悪体験に対する学習能力を示すものである。訓練試行において、MT(++)マウス、MT(--)マウスの雌雄ともに対照群と MeHg曝露群との間に回避反応時間に差異は認められず、学習能力の獲得に差はなかった。また、翌日に行った保持試行でも MT(++)マウス、MT(--)マウスの雌雄ともに対照群と MeHg曝露群との間に回避反応時間に差異は認められず、学習能力の獲得に差はなかった。

「加齢マウス」

図12及び図13には、胎生期にメチル水銀曝露をうけた加齢マウスにおける対照群と MeHg曝露群の MT(++)マウス及び、MT(--)マウスの受動的回避反応試験における訓練試行と翌日に行った保持試行の回避反応時間を示した。訓練試行において、MT(++)マウス、MT(--)マウスの雌雄ともに対照群と MeHg曝露群との間に回避反応時間に差異は認められず、学習能力の獲得に差はなかった。また、翌日に行った保持試行では MT(++)マウスの雌雄ともに対照群では回避反応時間が多くのマウスが観察時間の300秒を超えた。MeHg曝露群でも多くのマウスが観察時間の300秒を超えており、対照群と MeHg曝露群との間に回避反応時間に差異は認められず、学習能力の獲得に差はなかった。また、MT(--)マウスの雄では、対照群と MeHg曝露群との間に回避反応時間に差異は認められず、学習能力の獲得に差はなかった。これに対し、MT(--)マウスの雌では対照群の回避反応時間

4) 組織中水銀濃度の測定

表 1 及び表 2 には、出産後 10 日目と 3 ヶ月後における MeHg 噴露群の脳の水銀濃度を示す。MT(+/+)マウスでは、10 日後に比べ、3 カ月後には雌雄ともに約 1/70 まで低下していた。MT(-/-)マウスでは、雄は約 1/140 に、雌は約 1/180 まで低下した。10 日目において、MT(+/+)マウスと MT(-/-)マウスとの間に、雄で水銀濃度に有意な差は認められなかったが、雌では MT(-/-)マウスが MT(+/+) より約 1.3 倍高値を示し、その差は有意であった。3 カ月後の水銀濃度は MT(+/+)マウス、MT(-/-)マウスともに対照群の値まで低下しており、両群の雌雄ともに MeHg 噴露群と対照群との間に差異は認められなかった。

考 察

本研究は妊娠マウスに妊娠第 0 日目よりメチル水銀 5ppm を含む餌の投与を開始し、出産後 10 日目まで行った。その後、メチル水銀を含まない餌で飼育し、12 週目（以下、若年マウス）または 52 週目（以下、加齢マウス）に、MT(+/+)および MT(-/-)の雌雄マウスの行動解析を行い比較した。Open field test による探索行動については、若年マウスは、メチル水銀曝露を受けた雌の MT(-/-)マウスのみに探索行動の著しい低下が認められた。これに対して加齢マウスでは、メチル水銀曝露を受けた雌雄の MT(-/-)マウスに探索行動の著しい低下が認められ、加齢によって MT 欠損マウスに MeHg 影響が顕著になった。自発行動量に関しては、若年マウスでは MT(+/+)と MT(-/-)マウスともに胎生期におけるメチル水銀曝露の影響は観察されなかった。Goulet ら⁸⁾は我々の実験に用いたマウスと同種の C57BL/6 マウスに胎生期から授乳期に 0、4、6、8ppm のメチル水銀を含む飲料水を与えた実験でも、Open field test での雌雄のマウスの自発行動量に変化は認められなかつたと報告

が MeHg 噴露群に比べ、著しい上昇を示し、回避反応時間に对照群と MeHg 噴露群との間に有意な差が認められ、学習獲得能力に差があった。

3) Morris 水迷路試験

「若年マウス」

図 14 には、胎生期にメチル水銀曝露をうけた若年マウスにおける対照群と MeHg 噴露群の MT(++)マウス及び、MT(-/-)マウスの Morris 水迷路試験、訓練試行の回避反応時間を示した。この値は、空間認識に対する学習能力を示すものである。5 日間の訓練試行において MT(++)マウスでは雌雄ともに対照群、MeHg 噴露群に訓練試行を重ねるとともに回避反応時間が短縮した。しかししながら、訓練過程において両群の間に回避反応時間に差異は認められなかつた。MT(-/-)マウスは訓練過程において対照群と MeHg 噴露群の間に回避反応時間に差異はなかつたが、雄性マウスでは訓練試行を繰り返すことにより回避反応時間は両群ともに短縮したが、雌性マウスでは回避反応時間は必ずしも短縮しなかつた。

「加齢マウス」

図 15 には、胎生期にメチル水銀曝露をうけた加齢マウスにおける対照群と MeHg 噴露群の MT(++)マウス及び、MT(-/-)マウスの Morris 水迷路試験、訓練試行の回避反応時間を示した。5 日間の訓練試行において MT(++)マウスでは、雌雄ともに対照群、MeHg 噴露群に訓練試行を重ねるとともに回避反応時間が短縮した。しかし、訓練過程において、雄性マウスでは対照群と MeHg 噴露群との間に 2 日目、3 日目、4 日目で回避反応時間の有意差が認められた。それに対し、雌では両群に回避反応時間に差異はなかつた。MT(-/-)マウスは訓練過程において、雄性マウスでは対照群と MeHg 噴露群の間に 3 日目で回避反応時間の有意差が認められたのに対し、雌性マウスでは両群の間に 4 日目、5 日目で回避反応時間の有意差が認められた。

している。本研究結果と一致していた。しかし、加齢マウスの自発行動量は雌雄 MT(+/+)マウスとももに对照群に比べ、MeHg曝露群は低下していた。それに対して、MT(-/-)マウスは雌雄マウスともに MeHg 曝露群が対照群に比べて高値を示し、MT(+/+)マウスとは逆に自発行動量は亢進していた。情動反応の指標の一つである糞尿の変化で知ることができる。Kim ら⁹は妊娠 12-14 日目にメチル水銀を 3mg/kg で連日経口投与を受けた C57BL/6J 系マウスの 6 週間後の Open field test では、自発行動量、探索行動、脱糞数に MeHg 曝露群と対照群との間に差異は見られなかったと述べている。本研究では、若年マウス、加齢マウスとともに MT(+/+)マウスでは脱糞数には雌雄共に MeHg 曝露群と対照群間に差は認められなかった。しかしながら、MT(-/-)若年マウスの雄で MeHg 曝露群の脱糞数が有意に増加しており、MeHg 曝露による情動面に対する影響が認められた。

胎生期にメチル水銀曝露を受けたマウスの学習能力に関する研究では、Goulet ら⁸は、T 型迷路試験による学習能力や学習過程を調べた実験で、6ppm と 8ppm メチル水銀曝露群の雌マウスで雄マウスより短期（作業）記憶への影響を認めている。しかし、長期記憶に関する実験では雌雄マウスにおいてメチル水銀の影響はなかったが、記憶に対するメチル水銀の影響は雄に比べて雌は受けやすいと報告している。本研究では、学習能力の評価を受動的回避反応試験とモリス水迷路試験を用いて行った。受動回避反応試験による嫌悪体験に対する学習は若年マウスでは MT(+/+), MT(-/-)マウスの雌雄ともに MeHg 曝露群と対照群では回避反応時間に差異は認められず、メチル水銀による学習獲得の低下は認められなかった。しかし、加齢マウスでは雌性 MT(-/-)マウスで対照群に比べ、MeHg 曝露群の回避反応時間は低下しており、胎生期における MeHg 曝露による学習能力の獲得に対する影響が認められた。一方、空間認知で学習を測定するモリス水迷路試験では、若年マウスでは雌雄の MT(+/+)マウスと MT(-/-)マウスは 5 日間の訓練試行期間中、MeHg 曝露群と対照群との間にプラットホームに到達する回避反応時間に統計的に有意差は無く、空間認識による学習習得過程

性に顕著な違いが見られなった理由として、無機水銀と MeHg の MT 誘導合成能力や MT に対する親和性の相違によるものと思われる。MeHg は *in vivo* や *in vitro* の実験で酸化的ストレスを引き起こすことが報告されている^{13),14)}。また加齢とともに酸化的ストレスに対する抗酸化機能や抗名酸化物質が低下することが知られている。加齢マウスにおいて見られた MT(-/-)マウス見られた神経行動毒性の増強は、遺伝的要因や加齢にともなう酸化的ストレスに対する消去機能の低下に起因しているのではないかと思われる。

水俣やイラクでのメチル水銀中毒事件で、神經病理学的な変化は脳内水銀濃度が 12ppm 以上で発現することが明らかとなった¹⁵⁾。しかも臨床症状の発現の閾値は母親の毛髪 20ppm¹⁵⁾で、胎児の脳では 1ppm と推定されている¹⁶⁾。本研究では出産 10 日目におけるメチル水銀曝露新生児の脳内水銀濃度は 0.4~0.6μg/g と 1μg/g を下回る値であった。Sakamoto ら¹⁷⁾は妊娠ラットへのメチル投与実験（メチル水銀として 5ppm）で、胎児脳内水銀濃度は出産後 4.5μg/g が出産 10 日目には約 1/4 にまで低下し、授乳期間中に発育に伴う脳体積が増加により低下することを見出している。今回、胎児および出産直後の脳内水銀濃度の測定を行わなかったが、出産 10 日目の脳内水銀濃度の結果から推測すると、胎児期の脳内水銀濃度は 0.4~0.6μg/g より高値であったと思われる。また MT(+/+)マウス、MT(-/-)マウスともに脳内水銀濃度は雄性マウスに比べ、雌性マウスにおいて高値であり、とくに MT(-/-)マウスにおいては約 1.3 倍雌性マウスの脳の濃度が高かった。雌性マウスのメチル水銀に対する神經行動毒性に対し高い感受性は雌性マウスの高い脳内水銀濃度が関与しているかもしれない。

に影響は認められなかった。プローブテストでは遊泳時間や距離は雌雄の MT(++)マウス、MT(--)マウスとともに MeHg曝露群と対照群に差は認められず (data not shown)、Open field test と同様に運動量に変化は認められなかった。しかしながら、空間認知により学習習得しているか確認する試験では、雌の MT(++)マウス、雌雄の MT(--)マウスは MeHg曝露群と対照群との間に差異はなかったが、MeHg曝露をうけた雄性 MT(++)マウスでは空間学習に対する影響が認められた。胎生期の MeHg曝露に対する加齢要因による行動影響について、Christophor ら¹⁰⁾は、胎生期に MeHg曝露をうけた 1.7 年齢と 2.3 年齢の雄性ラットを用いて、オペラン試験を行った実験で、1.7 年齢のラットでは対照群と MeHg曝露群との間に学習行動に差異は認められないが、2.3 年齢のラットに学習獲得に影響が見られたと述べている。本実験における加齢マウスでは、雌性 MT(++)マウスは学習習得過程において空間認識への影響は認められなかったが、雄性 MT(++)マウスは明らかに学習修得過程において遅延が認められた。これに対し、MT(--)マウスでは MT(++)マウスとは反対に、雌性 MT(--)マウスで学習習得過程の遅延が認められた。プローブテストでは、MT(++)マウスは雌雄マウスとともに MeHg曝露群と対照群との間に記憶に対する影響は認められなかった。胎生期における MeHg曝露の学習行動に対する影響は、若年マウスよりも加齢マウスで見られ、しかも MT(--)マウスで雄性マウスより雌性マウスに顕著に現れ、加齢が MeHg の神経行動毒性を増強させるものと思われる。また受動回避反応試験やモリス水迷路試験の結果から、Goulet らの報告⁸⁾しているように学習行動に対する MeHg の影響は雄性マウスより雌性マウスにおいて感受性が高いことが判明した。

最近、MT-I,II は水銀蒸気曝露による急性毒性に対し軽減効果に示すのみならず、中枢神経行動毒性の軽減に重要な役割を果たすことが見出されている¹¹⁾。メチル水銀は無機水銀に比べ MT との親和性は弱く、加えてメチル水銀曝露による MT-I,II の誘導合成は起りにくいことが知られている¹²⁾。今回、若年マウスにおける MT(++)マウスと MT(--)マウスにおける神経行動毒性に対する感受

引用文献

- 1) Harada, Y. (1968) Congenital (or fetal) Minamata disease. In: Kusuna M (ed) Minamata disease. Kumamoto University, Japan pp 93-117.
- 2) Bakir, F., Damluji, S.F., Amin-Zaki, L., Murtadha, M., Khalidi, A., Al-Raw, N.Y., Tikkriti, S., Dhahir, H.I., Smith, J.C., Clarkson, T.W. & Doheety, R.A. (1973) Methylmercury poisoning in Iraq. Science 181, 230-241.
- 3) Cherian, M.G. and Goyer, R.A.(1978) Metallothionein and their role in the metabolism and toxicity. Life Sci. 23, 1-10.
- 4) Webb, M. and Cain, K. (1982) Function of metallothionein. Biochem. Pharmacol. 31, 137-142
- 5) Yoshida, M., Ohta, H., Yamauchi, Y., Seki, Y., Sagi, M., Yamazaki, K., Sumi, Y., 1998. Age-dependent changes in metallothionein levels in liver and kidney of the Japanese. Biological Trace Element Research. 63, 167-175.
- 6) Masters, B.A., Kelly, E.J., Quaife, C.J., Brinster, R.L. and Palmiter, R.D.(1994) Targeted disruption of metallothionein I and II genes increases sensitivity to cadmium. Proc. Natl. Acad. Sci. USA 91, 584-588.
- 7) Michalska, A. and Choo, K.H.A. (1993) Targeting and germ line transmission of a null mutation at the metallothionein I and II loci in mouse. Proc. Natl. Acad. Sci. USA 90, 8088-8092.
- 8) Goulet S, Dore FY, and Mirault ME. (2003) Neurobehavioral changes in mice chronically exposed to methylmercury during fetal and early postnatal development. Neurotoxicol Teratol.. 25:335-47.
- 9) Kim CY, Nakai K, Kasanuma Y, and Satoh H.(2000) Comparison of neurobehavioral changes in

- three inbred strains of mice prenatally exposed to methylmercury. *Neurotoxicol Teratol.* 22:397-403.
- 10) Christopher M., Newland, Phyllis A. Reile, Jeffrey L. Langston. (2004) Gestational exposure to methylmercury retards choice in transition in aging rats. *Neurotoxicology and Teratology* 26:176-194
- 11) Yoshida M., Watanabe C., Satoh M., Yasutake A., Sawada M., Ohtsuka Y., Akama Y. and Tohyama C. (2004) Susceptibility of metallothionein-null mice to the behavioural alteration caused by exposure to mercury vapor at human-relevant concentration. *Toxicol. Sci.* 80:69-73.
- 12) Yasutake, A., Nakano, A. and Hirayama, K. (1998) Induction by mercury compounds of brain metallothionein in rats: Hg exposure induces long-lived brain metallothionein. *Arch. Toxicol.* 72, 187-191.
- 13) Yee S, and Choi BH. (1994) Methylmercury poisoning induces oxidative stress in the mouse brain. *Exp Mol Pathol.* 60:188-96.
- 14) Shanker G, and Aschner M. (2003) Methylmercury-induced reactive oxygen species formation in neonatal cerebral astrocytic cultures is attenuated by antioxidants. *Brain Res Mol Brain Res.* 110:85-91
- 15) Cox C., Clarkson T.W., Marsh D.O., S. Amin-Zaki., Tikriti, S. and Myers G.G. (1989) Dose-response analysis of infants prenatally exposed to methylmercury: an application of single compartment model to single-strand hair analysis. *Environ. Res.* 49:318-332.
- 16) Burbacher T.M, Rodier P.M. and Weiss B. (1990) Methylmercury developmental neurotoxicity: a comparison of effects in humans and animals, *Neurotoxicol Teratol.*

12:191-202.

- 17) Skamoto M., Kakita A., Wakabayashi K., Takahasi H., Nakano A. and Akagi H. (2002)

Evaluation of changes in methylmercury accumulation in the developing rat brain and its effects: a study with consecutive and moderate dose exposure throughout gestation and lactation periods. *Brain Res.* 949:51-59.

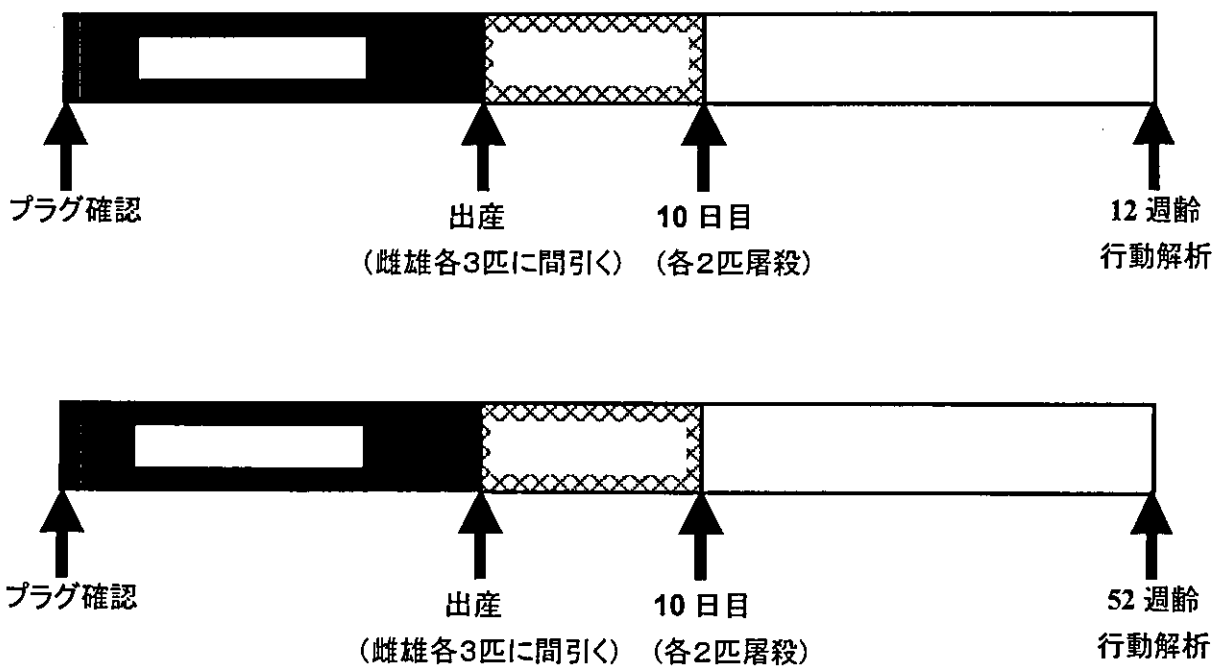
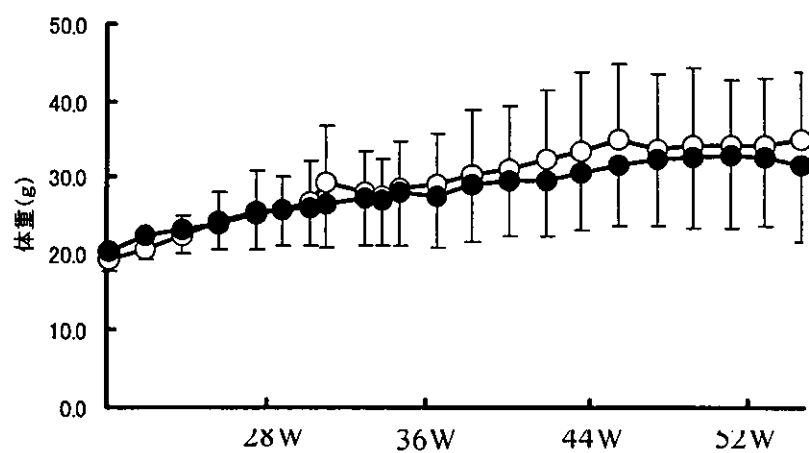
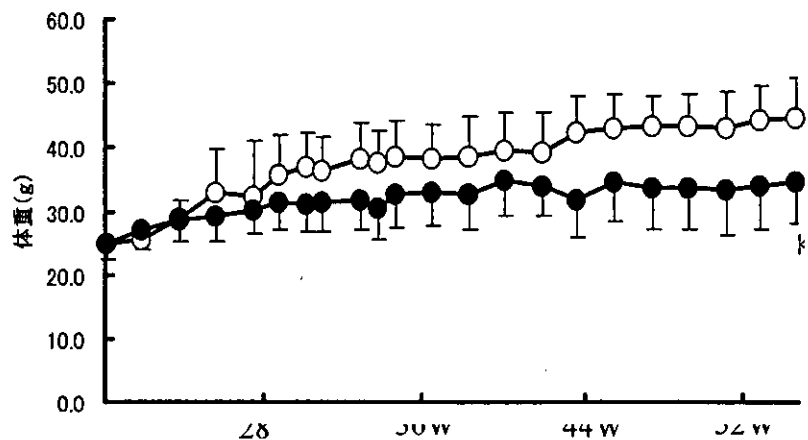


図 1. 実験デザイン



○ 対照群 ● 暴露群

図 2. MT(+/+)マウスの体重の変化
* $P<0.05$ で対照群との間に有意差あり

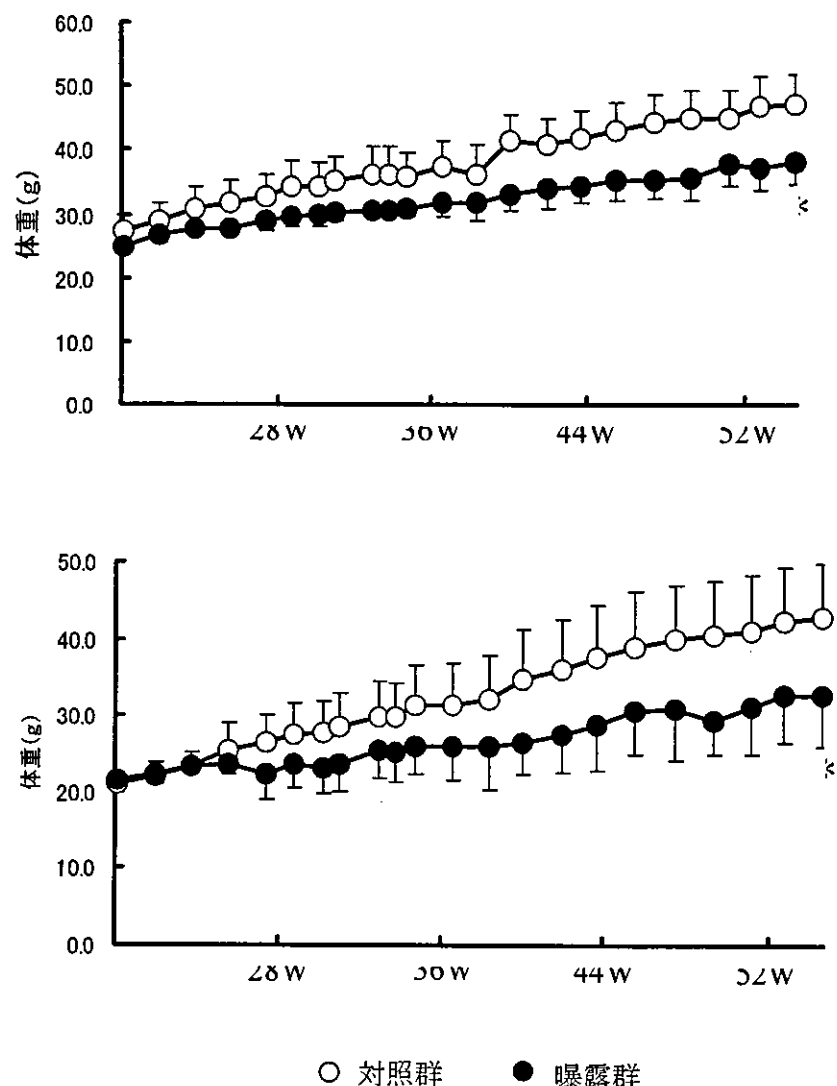


図3. MT(-/-)マウスの体重の変化

* $P<0.05$ で対照群との間に有意差あり

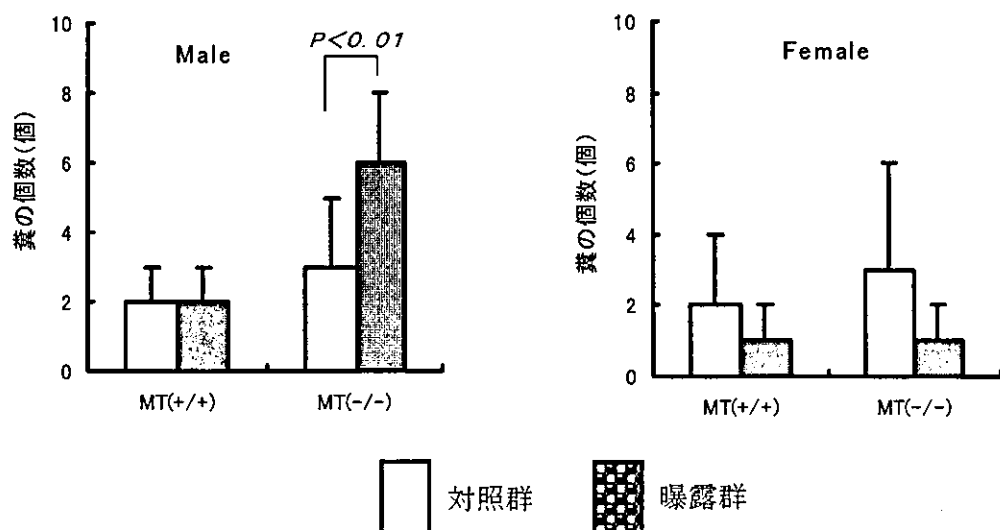


図4. 若年マウスにおけるオープンフィールド試験中の排便した糞の個数

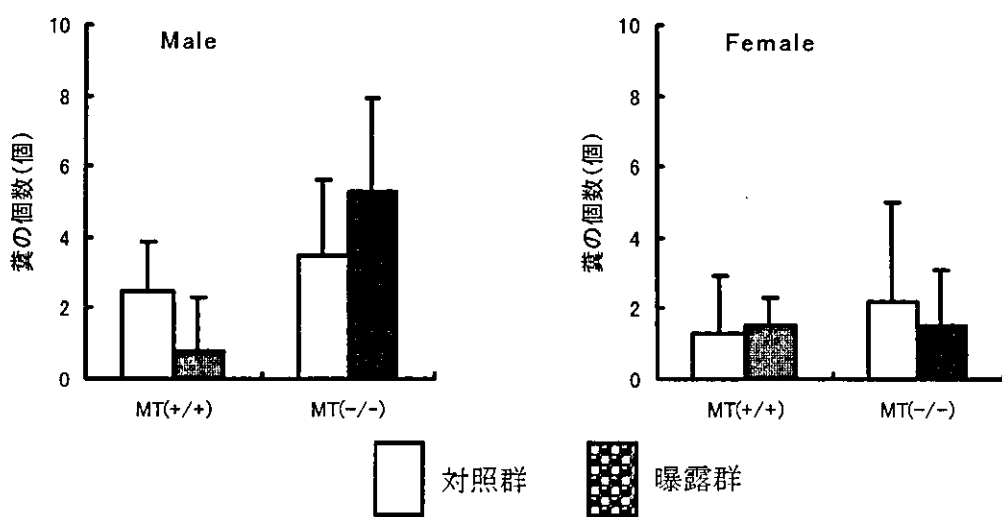


図5. 加齢マウスにおけるオープンフィールド試験中の排便した糞の個数

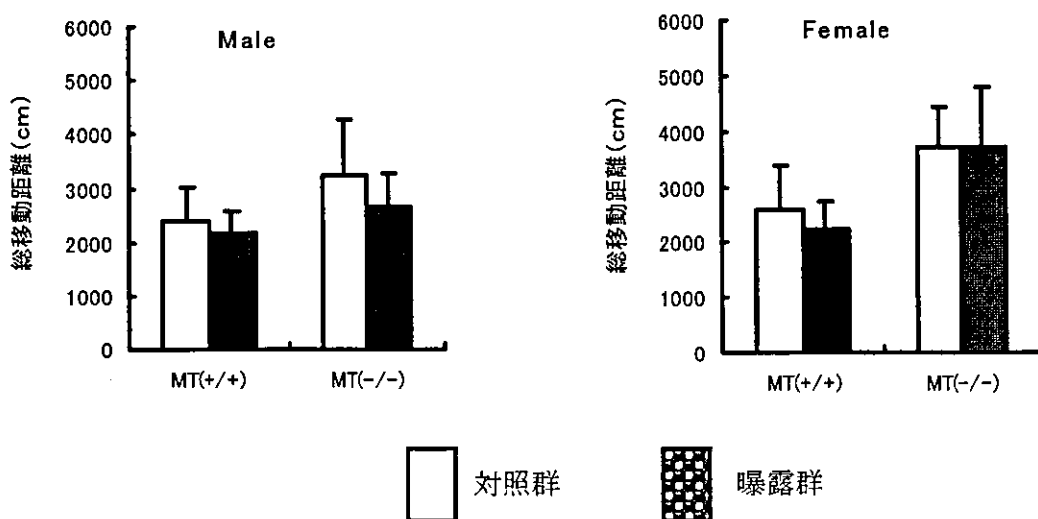


図6. 若年マウスにおけるオープンフィールド試験の総移動距離

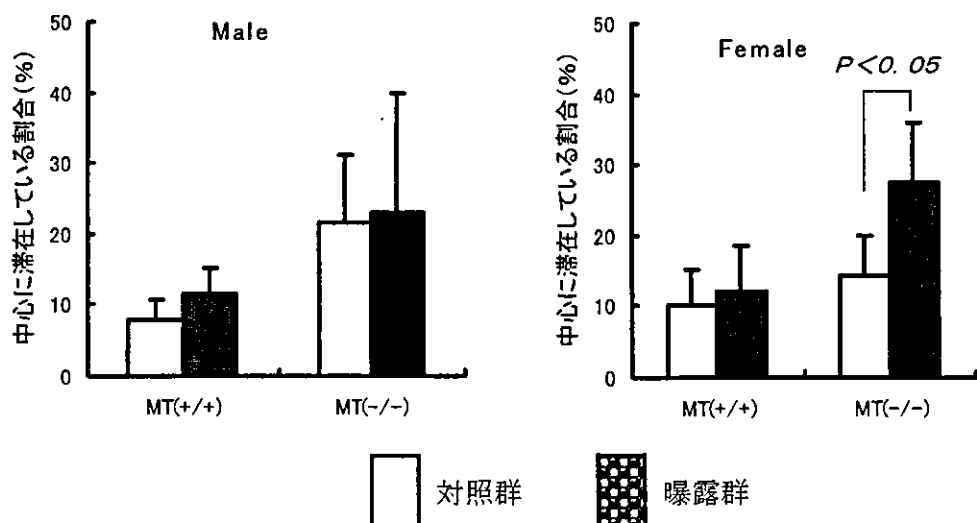


図7. 若年マウスにおけるオープンフィールド試験の中心に滞在している割合

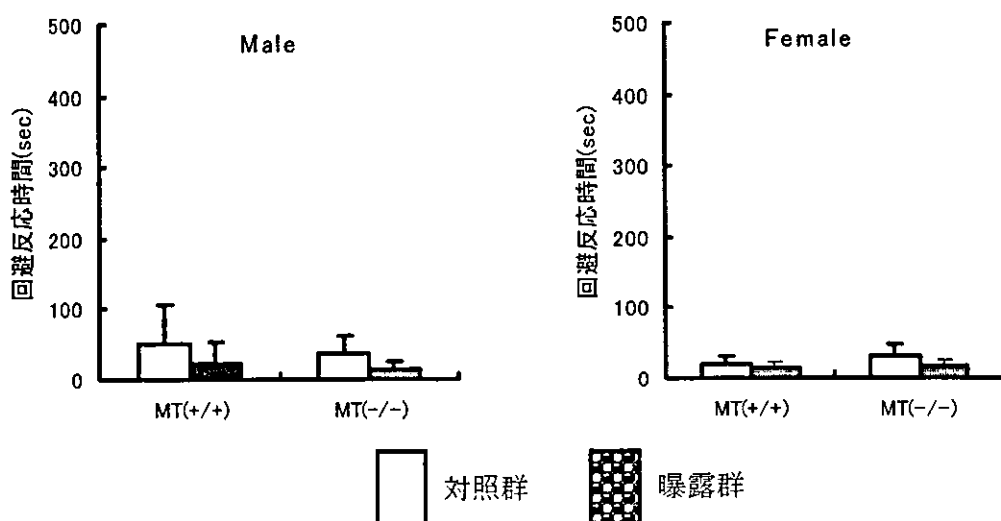


図 10. 若年マウスの受動的回避反応試験における訓練試行での回避反応時間

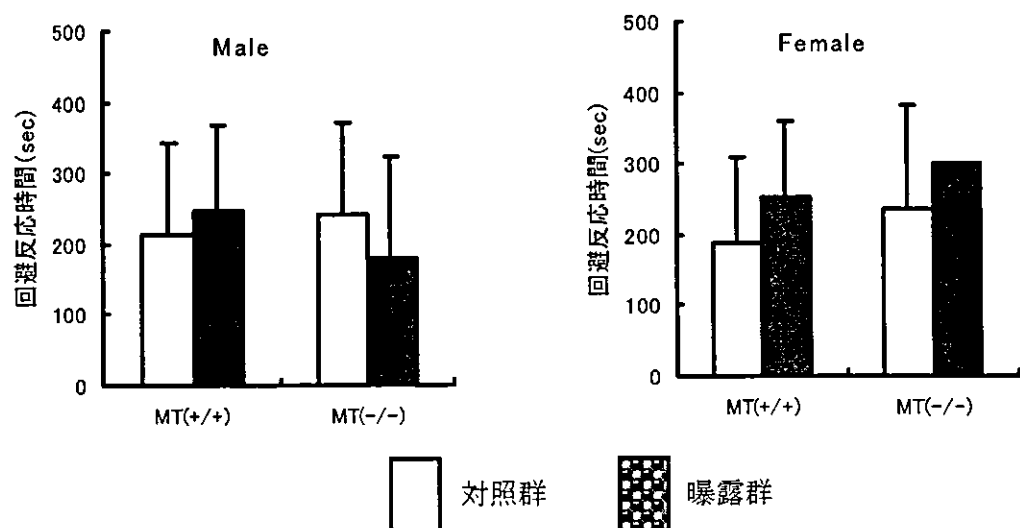


図 11. 若年マウスの受動的回避反応試験における保持試行での回避反応時間

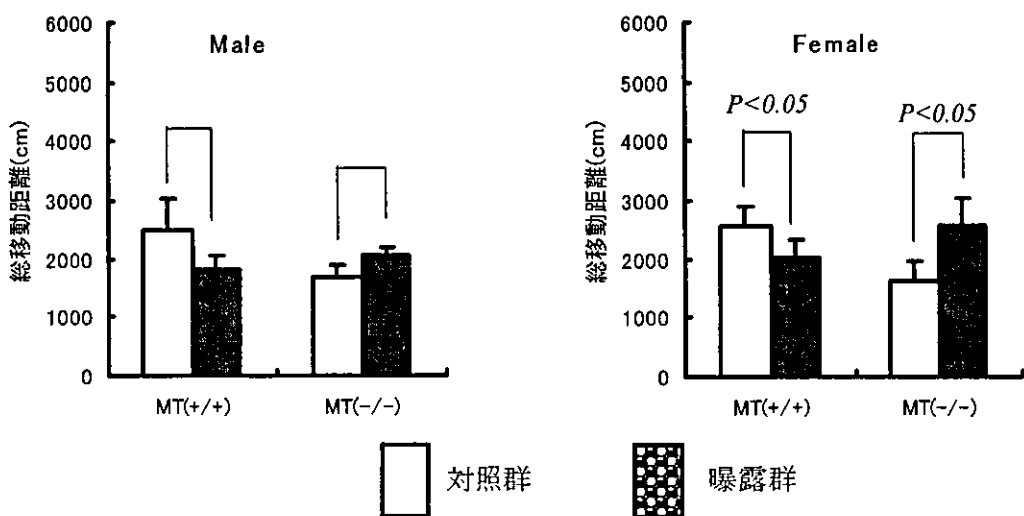


図8. 加齢マウスにおけるオープンフィールド試験の総移動距離

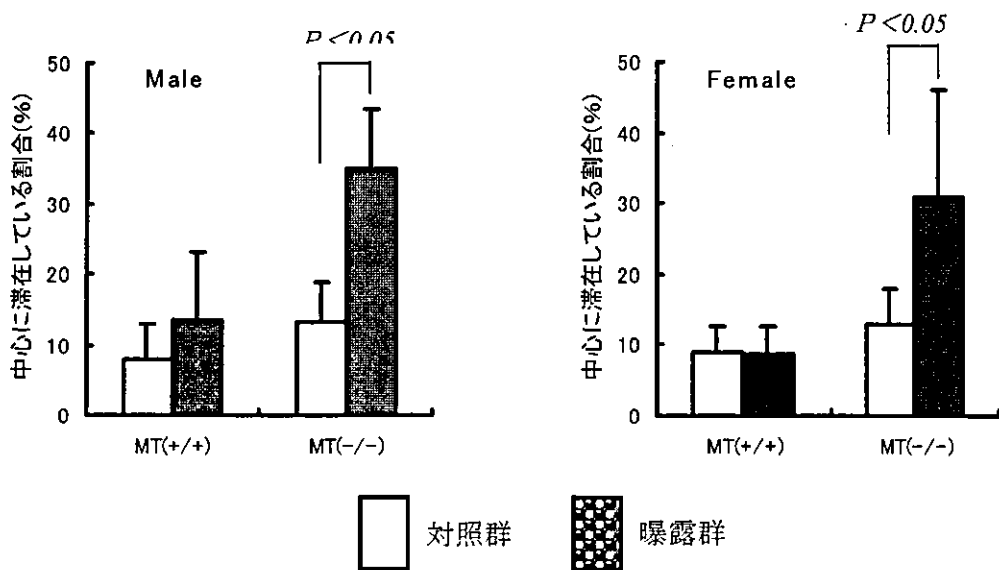


図9. 加齢マウスにおけるオープンフィールド試験の中心に滞在している割合

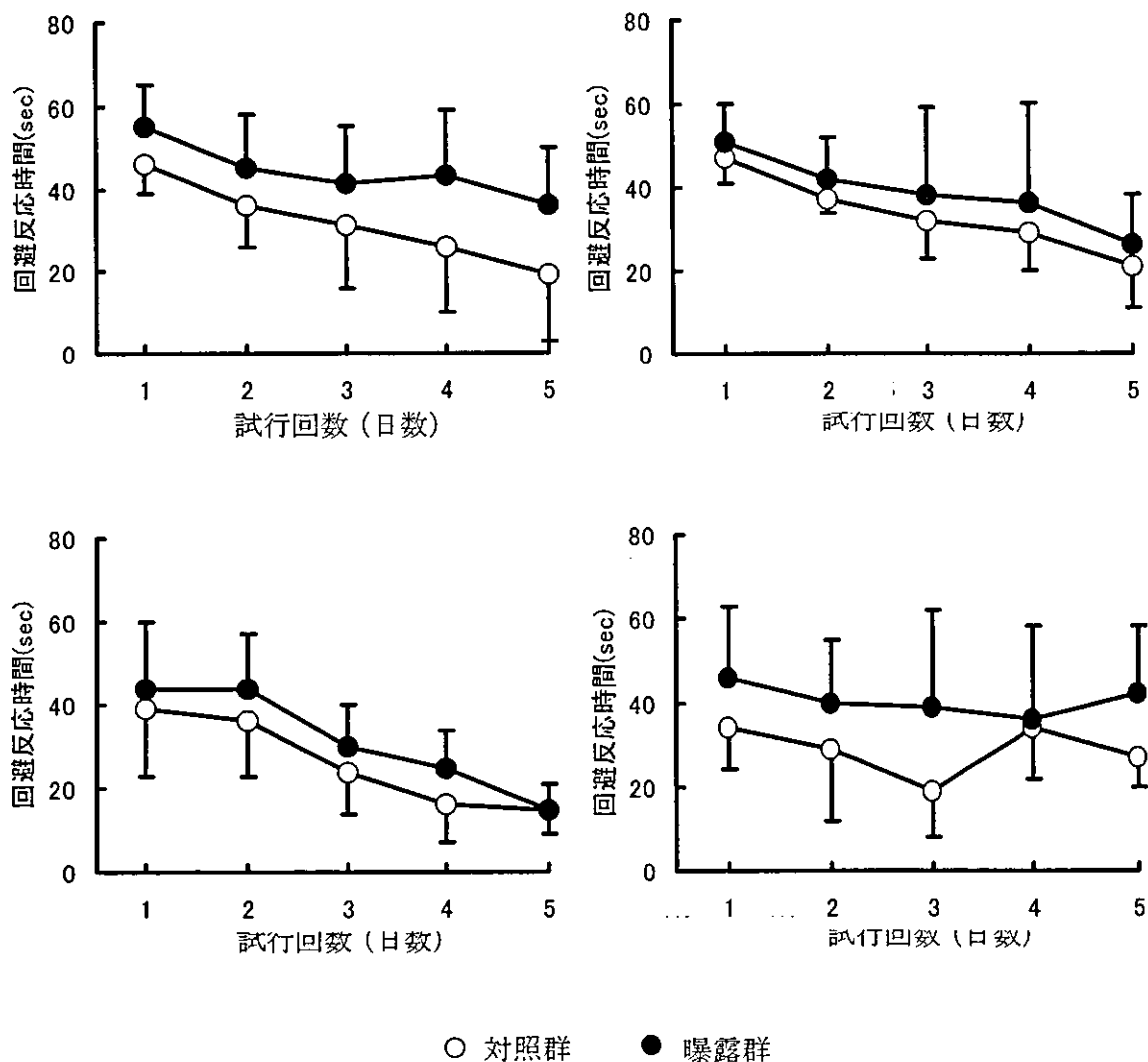


図 14. 若年マウスの Morris 水迷路試験における回避反応時間